

(HUANJING KEXUE)

# ENVIRONMENTAL SCIENCE

第36卷 第10期

Vol.36 No.10

2015

中国科学院生态环境研究中心 主办

科学出版社出版



### ENVIRONMENTAL SCIENCE

第36卷 第10期 2015年10月15日

### 目 次

- 甘工细颗粒쏊本酒泊贮抹老的 2012 年 12 月上海市亚重泛洗过租由 DM - 的酒弄起公坛 本花 - 皮热皮 - 亚芷莎(2542) -
基于细颗粒物来源追踪技术的 2013 年 12 月上海市严重污染过程中 PM <sub>2.5</sub> 的源贡献分析 李莉,安静宇,严茹莎(3543)
华北地区乡村站点(曲周)夏季 PM <sub>2.5</sub> 中二次无机组分的生成机制与来源解析 陈仕意,曾立民,董华斌,朱彤(3554)
成都市大气 PM <sub>2.5</sub> 中有机磷阻燃剂的污染水平及来源 印红玲,李世平,叶芝祥,杨迎春,梁金凤,游俊杰 (3566)
不同生物质燃烧排放多环芳烃及糖醇类化合物的模拟研究 黄帅,黄欣怡,吴水平,胡清华,陈晓秋(3573)
北京地区大气消光特征及参数化研究 陈一娜,赵普生,何迪,董璠,赵秀娟,张小玲(3582)
北京地区大气消光特征及参数化研究 陈一娜,赵普生,何迪,董璠,赵秀娟,张小玲(3582) 光助芬顿反应催化降解气体中甲苯 郑思灿,陈天虎,刘海波,邹雪华,朱承驻,陈冬(3590)
我国餐厨废物生化处理设施恶臭排放特征分析····································
大湖湖丰后昭家时穴蛙征及影响因子
人员的人人然一的工作正作。在这个时间,一直被导致这种问题。
至 J GUUL 影 例 D 从例 小 件 反 表 映 示 奴
河口盐度梯度下短叶茳芏沼泽湿地土壤间隙水溶解性甲烷时空特征 ····································
石家上中区土壤水分运移的稳定同位系符低分析
长寿湖水库垂直剖面不同形态汞的季节变化特征及其影响因素 白薇扬,张成,唐振亚,赵铮,王定勇(3649)
三峡库区消落带 4 种典型植物根际土壤养分与氮素赋存形态 王晓锋,袁兴中,刘红,张磊,尉建军,岳俊生(3662)
湖泊水-沉积物界面 DIC 和 DOC 交换通量及耦合关系 王伟颖,吕昌伟,何江,左乐,颜道浩(3674)
水体扰动条件下物质在沉积介质中的迁移 李邵龙,陈道毅(3683)
城市道路径流的排污特征 武俊良,任玉芬,王雪梅,王效科,陈利顶,刘刚才(3691)
杭州市余杭区典型农村暴雨径流污染特征
海水淡化超滤- 反渗透工艺沿程溴代消毒副产物变化规律
天然有机物和申解质对水中(发展多行为的影响 方伦 荆洁 干江伦 王建章(3715)
八流行电池河中尼州灰石水上 G60级采订为川水平 (2012) 经政府收益 (2012) 经政府收益 (2012) 经政府 (2012) 经政府 (2012) 经政府 (2012) 经政府 (2012) 经政府 (2012)
TALL TO THE TO THE TO THE TO THE TO THE TO THE
三峡库区伯格布 4 种典型植物根冰工壤养介与氮素赋仔形态 工
做好氧小肼酸化性有化及小顶处理中的应用研究 ·············· 术辰,天百尔,周古庆,从小为,陈子氏,却严观,天兄啈(3738)
倒置 A <sup>2</sup> /O-MBR 组合工艺处理生活污水效能及膜污染特性 王旭东,马亚斌,王磊,杨怡婷,黄丹曦,夏四清(3743)
高氨氯对具有回流的 PN-ANAMMOX 串联工艺的脱氮影响   李祥,崔剑虹,袁砚,黄勇,袁怡,刘忻(3749) 苯甲酸盐厌氧驯化体系中三氯乙烯的还原脱氯特性   李姜维,杨晓永,胡安谊,于昌平(3756) 驯化污泥厌氧还原脱氯促进 2,4,6-三氯酚矿化及胞外呼吸脱氯途径
苯甲酸盐厌氧驯化体系中三氯乙烯的还原脱氯特性 李姜维,杨晓永,胡安谊,于昌平(3756)
驯化污泥厌氧还原脱氯促进 2,4,6-三氯酚矿化及胞外呼吸脱氯途径 ······
宋佳秀,李玲,盛凡凡,郭翠香,张永明,李祖元,王天丽(3764) 苯酚对厌氧氨氧化污泥脱氮效能长短期影响
苯酚对厌氧氨氧化污泥脱氮效能长短期影响 杨朋兵,李祥,黄勇,朱亮,崔剑虹,徐杉杉(3771)
连续流好氧颗粒污泥系统处理低 COD/N 实际生活污水的工艺优化 鲁磊,信欣,鲁航,朱辽东,谢思建,武勇(3778)
FNA 对好氧吸磷的长期抑制及污泥吸磷方式转化 马娟,李璐,俞小军,孙雷军,孙洪伟,陈永志(3786)
污水处理厂不同工艺的污泥脱水效能分析及其影响因素研究 刘吉宝,李亚明,吕鑑,魏源送,杨敏,郁达伟(3794)
成的对象化与对数域 计每位等 酵類的用色污染化酶核化的影响
残留过氧化氢对微波-过氧化氢-碱预处理后污泥水解酸化的影响······贾瑞来,刘吉宝,魏源送,才兴(3801) 大围山典型森林土壤有机氮垂直分布特征 ·······················丁咸庆,马慧静,朱晓龙,陈珊,侯红波,彭佩钦(3809)
人国山兴全林怀上袭行犯叙土且力叩守曲。
看云山小问工地利用方式对工展估性有优恢、氮组分的影响 ·························· 作心,江长肚,辨庆匊,字金林(3810)
一样生产中的自排入开展书上演奏八次中控制
三峡库区典型退耕还林模式土壤养分流失控制 吴东,黄志霖,肖文发,曾立雄(3825)
缙云山不同土地利用方式对土壤活性有机碳、氮组分的影响 祁心,江长胜,郝庆菊,李鉴霖(3816)三峡库区典型退耕还林模式土壤养分流失控制 吴东,黄志霖,肖文发,曾立雄(3825)坡位与土层对喀斯特原生林土壤微生物生物量与丰度的影响 冯书珍,苏以荣,张伟,陈香碧,何寻阳(3832)
不同种植方式对亚热带红壤微生物多样性的影响 … 沈冰洁,祝贞科,袁红朝,葛体达,王久荣,陈明利,吴晓芙,吴金水(3839)
不同种植方式对亚热带红壤微生物多样性的影响 ··· 沈冰洁,祝贞科,袁红朝,葛体达,王久荣,陈明利,吴晓芙,吴金水(3839) 有色冶金区土壤-玉米系统汞累积及健康风险 ···················· 纪小凤,郑娜,王洋,刘强,张静静(3845)
不同种植方式对亚热带红壤微生物多样性的影响 ··· 沈冰洁,祝贞科,袁红朝,葛体达,王久荣,陈明利,吴晓芙,吴金水(3839) 有色冶金区土壤-玉米系统汞累积及健康风险 ····································
不同种植方式对亚热带红壤微生物多样性的影响 ··· 沈冰洁,祝贞科,袁红朝,葛体达,王久荣,陈明利,吴晓芙,吴金水(3839) 有色冶金区土壤-玉米系统汞累积及健康风险 ····································
不同种植方式对亚热带红壤微生物多样性的影响 ··· 沈冰洁,祝贞科,袁红朝,葛体达,王久荣,陈明利,吴晓芙,吴金水(3839) 有色冶金区土壤-玉米系统汞累积及健康风险 ····································
不同种植方式对亚热带红壤微生物多样性的影响 ··· 沈冰洁,祝贞科,袁红朝,葛体达,王久荣,陈明利,吴晓芙,吴金水(3839)有色冶金区土壤-玉米系统汞累积及健康风险 ····································
不同种植方式对亚热带红壤微生物多样性的影响 · · · 沈冰洁,祝贞科,袁红朝,葛体达,王久荣,陈明利,吴晓芙,吴金水(3839)有色冶金区土壤-玉米系统汞累积及健康风险 · · · · · · · · · · · · · · · · · · ·
不同种植方式对亚热带红壤微生物多样性的影响 · · · 沈冰洁,祝贞科,袁红朝,葛体达,王久荣,陈明利,吴晓芙,吴金水(3839)有色冶金区土壤-玉米系统汞累积及健康风险 · · · · · · · · · · · · · · · · · · ·
不同种植方式对亚热带红壤微生物多样性的影响 ··· 沈冰洁,祝贞科,袁红朝,葛体达,王久荣,陈明利,吴晓芙,吴金水(3839)有色冶金区土壤-玉米系统汞累积及健康风险 ····································
不同种植方式对亚热带红壤微生物多样性的影响 沈冰洁,祝贞科,袁红朝,葛体达,王久荣,陈明利,吴晓芙,吴金水(3839)有色冶金区土壤-玉米系统汞累积及健康风险
不同种植方式对亚热带红壤微生物多样性的影响 沈冰洁,祝贞科,袁红朝,葛体达,王久荣,陈明利,吴晓芙,吴金水(3839)有色冶金区土壤-玉米系统汞累积及健康风险
不同种植方式对亚热带红壤微生物多样性的影响 沈冰洁,祝贞科,袁红朝,葛体达,王久荣,陈明利,吴晓芙,吴金水(3839)有色冶金区土壤-玉米系统汞累积及健康风险
不同种植方式对亚热带红壤微生物多样性的影响 沈冰洁,祝贞科,袁红朝,葛体达,王久荣,陈明利,吴晓芙,吴金水(3839)有色冶金区土壤-玉米系统汞累积及健康风险
不同种植方式对亚热带红壤微生物多样性的影响 沈冰洁,祝贞科,袁红朝,葛体达,王久荣,陈明利,吴晓芙,吴金水(3839)有色冶金区土壤-玉米系统汞累积及健康风险 纪小凤,郑娜,王洋,刘强,张静静(3845)改良剂对 4 种木本植物的铅锌耐性、亚细胞分布和化学形态的影响 陈永华,张富运,吴晓芙,梁希,袁斯文(3852)菹草乙酸乙酯组分抑藻活性物质的分离纯化和鉴定 孙颖颖,苏振霞,浦寅芳,肖辉,王长海(3860)血吸虫病疫区水生生物体内氯苯化合物的污染特征与潜在风险 李昆,赵高峰,周怀东,赵健,张盼伟,刘巧娜,王兴勋,刘晓茹(3866)生物传感细胞 ADP1_pWHlux 在水环境急性毒性检测中的应用 唐慧,宋一之,姜博,陈光玉,贾建丽,张旭,李广贺(3872)虹鳟鱼鳃及肝脏多种 CYP1 基因表达模式作为生物标志物监测海河水污染状况 高绪,闫佩,檀翠玲,罗彦鹤,孙静,Maria E. Jönsson,Ingvar Brandt,唐运平(3878)纳米氧化锌对斑马鱼肝脏的毒性效应 刘林,赵群芬,金凯星,朱帅旗,王小飞,吕佳昀(3884)黄连根茎浸提物对隆线溞的急性毒性作用 放群芬,金凯星,朱帅旗,王小飞,吕佳昀(3884)黄连根茎浸提物对隆线溞的急性毒性作用 放弃,秦参集,秦参,《多92)发酵稻壳对亚铁离子和硫离子的吸附-解吸附特性 谢晓梅,廖敏,华嘉媛,陈娜,张楠,徐培智,解开治,徐昌旭,刘光荣(3896)搅拌棒吸附萃取-气相色谱-质谱联用测定海水中邻苯二甲酸酯 高晨晨,李锋民,卢伦,孙玥(3906)COD组分分析的实验条件及结果可靠性分析 李志华,张银,韩杏,余科,李汝佳(3913)养猪废水和污泥中11种兽用抗生素的同时分析技术及其在生物降解过程的应用
不同种植方式对亚热带红壤微生物多样性的影响 沈冰洁,祝贞科,袁红朝,葛体达,王久荣,陈明利,吴晓芙,吴金水(3839)有色冶金区土壤-玉米系统汞累积及健康风险 纪小凤,郑娜,王洋,刘强,张静静(3845)改良剂对 4 种木本植物的铅锌耐性、亚细胞分布和化学形态的影响 陈永华,张富运,吴晓芙,梁希,袁斯文(3852)菹草乙酸乙酯组分抑藻活性物质的分离纯化和鉴定 孙颖颖,苏振霞,浦寅芳,肖辉,王长海(3860)血吸虫病疫区水生生物体内氯苯化合物的污染特征与潜在风险 李昆,赵高峰,周怀东,赵健,张盼伟,刘巧娜,王兴勋,刘晓茹(3866)生物传感细胞 ADP1_pWHlux 在水环境急性毒性检测中的应用 唐慧,宋一之,姜博,陈光玉,贾建丽,张旭,李广贺(3872)虹鳟鱼鳃及肝脏多种 CYP1 基因表达模式作为生物标志物监测海河水污染状况 高绪,闫佩,檀翠玲,罗彦鹤,孙静,Maria E. Jönsson,Ingvar Brandt,唐运平(3878)纳米氧化锌对斑马鱼肝脏的毒性效应 刘林,赵群芬,金凯星,朱帅旗,王小飞,吕佳昀(3884)黄连根茎浸提物对隆线溞的急性毒性作用 放群芬,金凯星,朱帅旗,王小飞,吕佳昀(3884)黄连根茎浸提物对隆线溞的急性毒性作用 放弃,秦参集,秦参,《多92)发酵稻壳对亚铁离子和硫离子的吸附-解吸附特性 谢晓梅,廖敏,华嘉媛,陈娜,张楠,徐培智,解开治,徐昌旭,刘光荣(3896)搅拌棒吸附萃取-气相色谱-质谱联用测定海水中邻苯二甲酸酯 高晨晨,李锋民,卢伦,孙玥(3906)COD组分分析的实验条件及结果可靠性分析 李志华,张银,韩杏,余科,李汝佳(3913)养猪废水和污泥中11种兽用抗生素的同时分析技术及其在生物降解过程的应用
不同种植方式对亚热带红壤微生物多样性的影响 沈冰洁,祝贞科,袁红朝,葛体达,王久荣,陈明利,吴晓芙,吴金水(3839)有色冶金区土壤-玉米系统汞累积及健康风险 纪小凤,郑娜,王洋,刘强,张静静(3845)改良剂对 4 种木本植物的铅锌耐性、亚细胞分布和化学形态的影响 陈永华,张富运,吴晓芙,梁希,袁斯文(3852)菹草乙酸乙酯组分抑藻活性物质的分离纯化和鉴定 孙颖颖,苏振霞,浦寅芳,肖辉,王长海(3860)血吸虫病疫区水生生物体内氯苯化合物的污染特征与潜在风险 李昆,赵高峰,周怀东,赵健,张盼伟,刘巧娜,王兴勋,刘晓茹(3866)生物传感细胞 ADP1_pWHlux 在水环境急性毒性检测中的应用 唐慧,宋一之,姜博,陈光玉,贾建丽,张旭,李广贺(3872)虹鳟鱼鳃及肝脏多种 CYP1 基因表达模式作为生物标志物监测海河水污染状况 高绪,闫佩,檀翠玲,罗彦鹤,孙静,Maria E. Jönsson,Ingvar Brandt,唐运平(3878)纳米氧化锌对斑马鱼肝脏的毒性效应 刘林,赵群芬,金凯星,朱帅旗,王小飞,吕佳昀(3884)黄连根茎浸提物对隆线溞的急性毒性作用 放弃,秦沙健(3892)发酵稻壳对亚铁离子和硫离子的吸附-解吸附特性 谢晓梅,廖敏,华嘉媛,陈娜,张楠,徐培智,解开治,徐昌旭,刘光荣(3896)搅拌棒吸附萃取-气相色谱-质谱联用测定海水中邻苯二甲酸酯 高晨晨,李锋民,卢伦,孙玥(3906)COD组分分析的实验条件及结果可靠性分析 李志华,张银,韩杏,余科,李汝佳(3913)养猪废水和污泥中11种兽用抗生素的同时分析技术及其在生物降解过程的应用
不同种植方式对亚热带红壤微生物多样性的影响 沈冰洁,祝贞科,袁红朝,葛体达,王久荣,陈明利,吴晓芙,吴金水(3839)有色冶金区土壤-玉米系统汞累积及健康风险

## 血吸虫病疫区水生生物体内氯苯化合物的污染特征与 潜在风险

李昆1,赵高峰1\*,周怀东1,赵健2,张盼伟1,刘巧娜1,王兴勋1,刘晓茹1

(1. 中国水利水电科学研究院,北京 100038; 2. 中国环境科学研究院,北京 100012)

摘要:采用 GC/MS 技术对典型血吸虫病疫区不同水期采集的 1 种软体生物和 5 种鱼体肌肉进行分析.实验发现 3 类二氯苯和六氯苯(HCB)为优势污染物.  $\sum$  CBs 在软体生物肌肉中几何均值(以脂肪质量计,下同)为11 947 ng·g<sup>-1</sup>;在鱼体肌肉中范围为1 851~8 159 ng·g<sup>-1</sup>,鱼体  $\sum$  CBs 最高浓度出现在鲶鱼体内,最低浓度出现在鲫鱼体内;实验结果与国内外相关文献报道值比较,显示该区域软体生物体内 HCB 含量与其他区域相当;鱼体肌肉中 HCB 含量则处于较高污染水平. 癌症风险评价结果表明因软体生物和鱼类摄入 HCB 而带来的风险分别为 1. 49×10<sup>-7</sup>和 3. 73~21. 1×10<sup>-7</sup>,说明研究区域水生生物中因HCB 污染引起的癌症风险处于可接受水平.

关键词:血吸虫病疫区;水生生物;氯苯化合物;污染特征;癌症风险

中图分类号: X171; X820.4 文献标识码: A 文章编号: 0250-3301(2015)10-3866-06 DOI: 10.13227/j. hjkx. 2015. 10. 041

### Distribution Characteristics and Potential Risk of CBs in Aquatic Organisms from Typical Epidemic Areas of Schistosomiasis Prevalence

LI Kun<sup>1</sup>, ZHAO Gao-feng<sup>1\*</sup>, ZHOU Huai-dong<sup>1</sup>, ZHAO Jian<sup>2</sup>, ZHANG Pan-wei<sup>1</sup>, LIU Qiao-na<sup>1</sup>, WANG Xing-xun<sup>1</sup>, LIU Xiao-ru<sup>1</sup>

(1. China Institute of Water Resources and Hydropower Research, Beijing 100038, China; 2. Chinese Research Academy of Environmental Sciences, Beijing 100012, China)

**Abstract:** Eleven mollusca samples and 32 fish samples were collected from typical epidemic areas of schistosomiasis prevalence. The contents of 12 CB congeners in aquatic organism samples were measured using the GC/MS technique. The results indicated that 1,3-DIC, 1,4-DIC, 1,2-DIC and HCB were the most predominant CB congeners in the samples from the studying area. The geometric average of CBs in muscle of mollusca was 11 947  $\rm ng \cdot g^{-1}$  lipid weight. The summarized concentration of CBs in fish muscle ranged from 1 851 to 8 159  $\rm ng \cdot g^{-1}$  lipid weight. The highest concentration of CBs sum was detected in the catfish, while the lowest one was found in the crucian carp. The concentrations of CBs in fish samples were much higher than those reported in other countries, while in mollusca samples were at the same level. The estimated cumulative cancerigenic risks for the local residents consumed the aquatic organisms from the studying area were 1.49 × 10<sup>-7</sup> and 3.73-21.1 × 10<sup>-7</sup>, respectively for mollusca and fish, both of which were acceptable.

Key words: epidemic areas of schistosomiasis prevalence; aquatic organisms; chlorobenzenes (CBs); distribution; cancerigenic risk

氯苯类化合物广泛应用于染料、医药、农药、有机合成等工业中[1],在水体[2]、沉积物[3]、水生生物[4]和人体[5]中均已有检出. 早在 2001 年 5 月 23 日联合国环境规划署在瑞典颁布的《关于持久性有机污染物的斯德哥尔摩公约》,提出了包括六氯苯(hexachlorobenzene, HCB)在内的 12 种持久性有机污染物(persistent organic pollutants, POPs);在 2004 年 8 月,该公约进一步增加了包括五氯苯(1,2,3,4,5-pentachlorobenzene, PeCB)在内的 9 种化合物. 在我国,公约所约束的第一批 12 种以及后续增补的包括五氯苯在内的 9 种化合物分别于 2004 和 2013 年正式生效. 由于 HCB 曾被大量使用,其对环境的影响仍是一个非常严峻的问题<sup>[6]</sup>.

有研究表明<sup>[7~10]</sup>,HCB 在一定条件下可降解为低氯代氯苯类化合物,这些化合物最终会以各种途径进入人体而影响人体健康<sup>[5]</sup>.

我国从1959年起在长江中下游地区大量使用 五氯酚及其钠盐灭螺防治血吸虫病,同时作为五氯 酚钠合成主要中间体的 HCB 也用量巨大;尽管 1992年国家规定停用 PCP 改用氯硝柳胺作为灭螺 剂,但由于氯硝柳胺杀螺作用缓慢,在施药后有钉螺

收稿日期: 2015-01-06; 修订日期: 2015-05-14

基金项目: 国家自然科学基金项目(21377168); 中国水利水电科学研究院院专项(环集1539)

作者简介: 李昆(1987~),男,硕士,助理工程师,主要研究方向为水 环境污染物检测,E-mail;likun@ iwhr.com

\* 通讯联系人, E-mail: zhaogf@ iwhr. com

上爬现象,导致灭螺效果降低,因此在一些地方血防单位仍将 PCP 和氯硝柳胺混合使用从而提高灭螺效果.

茅草街镇位于澧水尾闾、湖南省益阳市南县最南端,处在湘、资、沅、澧、赤磊洪道、藕池西支和沱江七大水系交汇处,是典型的血吸虫病疫区(曾大量施用五氯酚及其钠盐进行灭螺). 该镇镇域面积 2.48 km²,居民6 417户,人口18 337人,是南县主要农副产品集散地,也是益阳市的经济强镇. 据统计,南县 2011 年水生生物年产量为 9.63 万 t,其中鱼年产量为 8.59 万 t. 本研究以茅草街镇为中心,在枯水期、平水期和丰水期,对沱江、藕池河下游与松澧洪道 3 条河流收集的 43 只水生生物(软体生物 11 只,鱼体 32 尾)肌肉体内的 12 种氯苯化合物(chlorobenzenes, CBs)进行检测,进而对该区域的CBs类化合物来源进行分析,以期为该区域的CBs类化合物生态风险评估提供基础数据支持.

#### 1 材料与方法

#### 1.1 实验材料与仪器

有机溶剂正己烷、二氯甲烷和丙酮等均为农残级(J. T. Baker, Phillipburg, USA);优级纯浓硫酸(BDHL, England);无水硫酸钠(分析纯,用二氯甲烷淋洗,然后置于  $400^{\circ}$  的马弗炉中烘烤 6 h,干燥器中密闭保存、备用);超纯水(经 MILLIQ 水纯化系统纯化,电阻率为  $18.2~M\Omega \cdot cm$ );硅胶(Merck,Darmstadt,Germany);去活硅胶( $H_2O$  质量分数为 3.3%);酸化硅胶( $H_2SO_4$  质量分数为 44%);12种 CBs 标准品均购置于德国 Dr. 公司(纯度≥ 98%).

#### 1.2 样品采集与处理

样品采集于2010-11、2011-04 和2011-06,共采集河蚌11 只和鱼样32 尾(有样品采集的点如图1所示),4℃保存. 将每个样品转移至实验室后分别进行前处理.

经冷冻干燥机干燥后,研磨过 200 目筛,准确称取 5 g 样品与 3 g 硅藻土混合均匀,加入 10  $\mu$ L TMX 回收率指示物后使用加速溶剂萃取仪(accelerated solvent extraction, ASE)进行萃取. ASE 条件为100℃,1500 psi,加热 5 min,静态萃取 7 min,清洗溶液体积分数 60%,循环 2 次,溶剂 A 为二氯甲烷用量 50%,溶剂 B 为正己烷用量为 50%.

将上述萃取液经旋转浓缩、氮吹后定容至 6 mL, 经 凝 胶 渗 透 色 谱 仪 (Gel Permeation

Chromatography, GPC) 去除大分子物质(蛋白质和脂肪等),GPC条件设置为:流动相为环己烷:乙酸乙酯(1:1,体积比),流速:4.7 mL·min<sup>-1</sup>,柱形:co780,注射环型号:2.5 mL,收集8~16 min 洗脱液.GPC注射剩余样品用于样品脂肪含量检测.

收集洗脱液再次氮吹浓缩至 1~2 mL,经酸化硅胶柱净化(净化柱填料及用量从下至上依次为无水硫酸钠 2 g、去活硅胶 2 g、酸化硅胶 5 g、去活硅胶 2 g、无水硫酸钠 2 g),依次用 30 mL 正己烷、30 mL 正己烷:二氯甲烷(9:1)溶液洗脱;收集洗脱液浓缩、定容至 100 μL,待测.

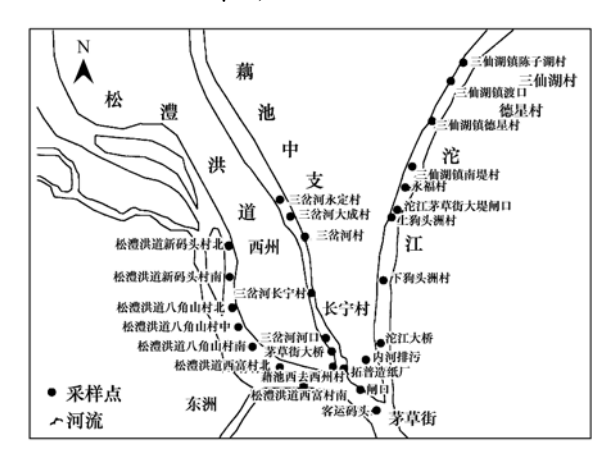


图 1 典型血吸虫病疫区水生生物采集位置示意

Fig. 1 Sampling sites for aquatic organism in regions of schistosomiasis prevalence

#### **1.3** 仪器分析

气相色谱-质谱仪 Agilent 6890GC/5975MS, 配备 30 m HP-5MS (5% phenyl/95% methyl silicone, 30 m,0. 25 mm i. d. ,0. 25  $\mu$ m film, Agilent, USA)色谱柱. 采用无分流进样方式, 载气为高纯 He, 恒流 1.0 mL·min<sup>-1</sup>,进样量 1  $\mu$ L. 离子源和传输杆的温度分别为 230℃和 250℃;采用电子轰击(EI)模式检测;程序升温:90℃保留 1 min,以 4 ℃·min<sup>-1</sup>的速率升至 250℃,然后以 25 ℃·min<sup>-1</sup>的速率从 250℃升至 280℃停留 5 min.

#### 1.4 质量控制与保证

玻璃器皿依次用洗涤剂、重铬酸钾洗液、自来水、去离子水和丙酮漂洗,再用烘箱烘干.每10个样品添加一个溶剂空白和程序空白,避免背景污染(保证空白无污染后方可进行实验). CBs 定量标准曲线的浓度包括 5.0、10.0、20.0、50.0、100.0  $\mu g \cdot L^{-1}$  共 5 个级别;线性相关系数  $r^2 > 0.98$ .样品的最低检测限(LOD)以 3 倍信噪比(S/N)来计算.化合物加标回收率数据如表 1 所示.

表 1 CBs 化合物加标回收率

Table 1 Recovery test of CBs

/1. A #bm	添加浓度 20 ng·g <sup>-1</sup> (n=5)						
化合物	平均值/μg·L <sup>-1</sup>	相对标准偏差/%	回收率/%				
氯苯	8. 54	0. 37	42. 70				
1,3-二氯苯	9. 04	1. 64	45. 18				
1,4-二氯苯	20.00	0. 43	100.02				
1,2-二氯苯	13.93	1. 24	69. 65				
1,3,5-三氯苯	16. 90	1. 17	84. 48				
1,2,4-三氯苯	21. 24	0.88	106. 22				
1,2,3-三氯苯	23.06	0. 83	115. 30				
1,2,4,5-四氯苯	24. 22	0. 65	121. 10				
1,2,3,5-四氯苯 和1,2,3,4-四氯苯	22. 64	0. 52	113. 18				
五氯苯	20. 20	0. 37	100. 98				
六氯苯	22. 86	0. 42	114. 32				

#### 1.5 统计分析

将样品分为河蚌、鳊鱼、鲫鱼、鲤鱼、黄颡鱼和 鲶鱼这6类,并分别进行统计分析;样品中 CBs 的浓 度低于 LOD 时用 1/2 LOD 进行统计计算;各样品中 CBs 的浓度根据指示物 TMX 的回收率进行校正. 统 计分析软件为 SPSS (版本 17.0, SPSS Inc., Chicago, IL, USA),几何均值、检出率等统计指标用来描述 CBs 在水生生物体内的浓度, T 检验用来描述草食性 鱼体与杂食性鱼体污染物总含量的显著性.

#### 2 结果与分析

采集并分析了血吸虫病疫区代表性软体生物 (河蚌)以及鱼类(草食性鱼类包括鳊鱼;杂食性鱼类包括鲫鱼、鲤鱼和黄颡鱼;肉食性鱼类包括鲶鱼)体内的  $\sum$  CBs 含量. 不同水生生物体内的  $\sum$  CBs 含量. 不同水生生物体内的  $\sum$  CBs 含量(以脂肪质量计,下同)统计数据见表 2. 对其中数据进行分析发现,河蚌体内  $\sum$  CBs 总含量为最高(几何均值为11 947  $\operatorname{ng} \cdot \operatorname{g}^{-1}$ );鲶鱼为鱼体肌肉内  $\sum$  CBs 含量最高的鱼种(几何均值为8 159  $\operatorname{ng} \cdot \operatorname{g}^{-1}$ ),其次为鲤鱼(几何均值为4 744  $\operatorname{ng} \cdot \operatorname{g}^{-1}$ ),最低的鱼种为鲫鱼(几何均值为1 851  $\operatorname{ng} \cdot \operatorname{g}^{-1}$ ).

表 2 典型血吸虫病疫区水生生物中氯苯类化合物含量/ng·g-1

Table 2 Concentration of CBs in aquatic organism in typical epidemic areas of schistosomiasis prevalence/ng·g<sup>-1</sup>

	河蚌(	n = 11)	鳊鱼(	(n=4)	鲫鱼(	(n=8)	鲤鱼(	(n=8)	黄颡鱼	L(n=2)	鲶鱼(r	a = 10)
化合物	几何 均值	检出率 /%										
氯苯	2. 44	18	ND	ND	1. 27	25	ND	ND	ND	ND	13. 9	60
1,3-二氯苯	3 248	100	1 192	75	246	88	605	88	1 031	100	1 253	100
1,4-二氯苯	2 932	100	578	75	201	88	846	100	703	100	967	100
1,2-二氯苯	4 848	100	1 585	75	123	88	833	88	1 347	100	1 117	100
1,3,5-三氯苯	ND	ND										
1,2,4-三氯苯	1.40	9	ND	ND	ND	ND	1. 17	25	3.83	50	5.40	40
1,2,3-三氯苯	2. 35	27	ND	ND	0.40	13	2. 50	25	ND	ND	3.03	40
1,2,4,5-四氯苯	ND	ND										
1,2,3,5-四氯苯 和1,2,3,4-四氯苯	ND	ND	ND	ND	ND	ND	ND	ND	1. 27	ND	1. 32	20
五氯苯	1.73	9	ND	ND	0.70	25	1.41	25	15.5	100	1. 27	20
六氯苯	64. 0	91	238	100	160	100	318	88	906	100	492	100
$\sum CBs^{(1)}$	11 947	100	3 779	100	1 851	100	4 744	100	4 062	100	8 159	100

1)表示 12 种 DBs 总量

分析表 2 发现,研究区域鱼类和河蚌体内 1,3-二氯苯、1,4-二氯苯、1,2-二氯苯和 HCB 四类化合物检出率和含量均较高,为研究区域水生生物体内 CBs 类化合物典型污染物.

对研究区域水生生物体内各类 CBs 化合物所占质量分数进行分析(图 2),发现 HCB 在黄颡鱼体内百分含量最高,为 22.59%;其次为鲫鱼,含量为 21.79%;百分含量最低的水生生物为河蚌,仅为 0.58%.3 种二氯苯化合物的质量百分含量总和比

重恰相反.

根据 US  $EPA^{[11]}$ 提出的癌症风险计算公式如下: LADD =  $(c \times IR \times ED)/(BW \times LT)$  RISK = LADD  $\times CSF$ 

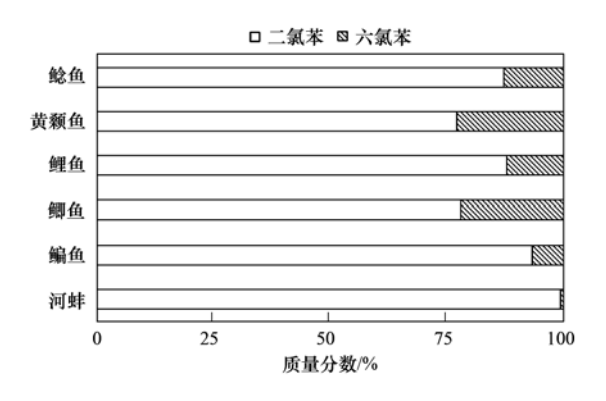
式中,LADD: 生命周期内平均日摄入量; c: 各类食物中 HCBs 浓度; IR: 生物日摄入量( $g \cdot d^{-1}$ ); ED: 暴露持续时间; BW: 体重; LT: 生命周期; RISK: 生命周期内癌症风险; CSF: 癌症斜率因子( $kg \cdot d \cdot mg^{-1}$ ).

根据中国统计年鉴 2013 年数据<sup>[12]</sup>,以普通居 民水生生物日摄入量为 41.62 g 计算,其他数据为 EPA 默认数据,既上式中 IR = 41.62 g·d<sup>-1</sup>,ED = 30 a, BW = 60 kg, LT = 70 a; 根据 US EPA 标准<sup>[13]</sup>中规定食物中 HCB 的 CSF 为 1.6 kg·d·mg<sup>-1</sup>. 通过上述公式进行计算,结果如表 3.

表 3 典型血吸虫病疫区癌症风险计算结果

Table 3 Calculation of cancerigenic risk for the site in typical epidemic areas of schistosomiasis prevalence

种类	CSF /kg·d·mg <sup>-1</sup>	c ∕ng•L <sup>-1</sup>	IR ∕g•d <sup>-1</sup>	ED/a	BW/kg	LT/a	风险
鱼体 软体生物	1.6	160 ~ 906 64. 03	41. 62	30	60	70	3. 73 × 10 <sup>-7</sup> ~ 21. 1 × 10 <sup>-7</sup> 1. 49 × 10 <sup>-7</sup>



#### 图 2 典型血吸虫病疫区 CBs 各同系物所占质量分数分布

Fig. 2 Concentrations of different homologues of CBs in aquatic organisms collected from typical epidemic areas of schistosomiasis prevalence

#### 3 讨论

#### 3.1 水生生物体内氯苯类有机物的污染特征

从表 2 数据可以看出,河蚌体内 ∑ CBs 最高, 为鱼体含量的 1.46~6.45 倍. 一方面原因是河蚌 为底栖滤食性生物,摄取水底层悬浮颗粒物;另一 方面河蚌分析是取整个内脏团,包括消化道中的食 物及颗粒物,从而导致河蚌样品 ∑ CBs 增高. 这一 结果与魏泰莉等[14]在珠江口做的调查结果相一致. 其次,肉食性鱼体 ∑CBs 较高(如鲶鱼),说明 ∑CBs 具有生物富集放大作用. 杂食性鱼体 ∑CBs 总量水平略低于肉食性鱼体(如鲫鱼、鲤鱼 和黄颡鱼). 草食性鱼体(如鳊鱼)的 \( \sumeq CBs 与杂 食性鱼体含量相当,且不是污染物含量最低的种类, 经 T 检验发现,两者不存在显著性差异( $\alpha = 0.05$ ). 原因可能是一方面由于鳊鱼虽然为草食性鱼体,但 其幼鱼主要以枝角类和甲壳动物等污染物浓度较高 的底栖生物为食,使得污染物沉积在体内无法排出; 另一方面由于鳊鱼在水中的生活环境主要为中下层 水体,而一般中下层水体中高浓度污染物的湖底植 物碎屑含量较多,从而导致其更容易将污染物摄入 体内富集起来.

#### 3.2 典型污染物来源分析

1,2-、1,3-、1,4-二氯苯这3种异构体都是精细 化工中的重要中间体,广泛用于医药、农药、燃料、 颜料等有关工业产品的合成. 1,2-二氯苯在医药方 面可以用于生产氟氯苯胺,用作氟哌酸的生产;在 农药方面,可以合成碳酸酐酶抑制药双氯磺酰胺,防 治蚊蝇、臭虫的药剂三氯杀虫酯,硝喹等的中间体 3,4-二氯苯甲醛,广谱驱虫药甲苯咪唑的中间体 3.4-二氯二苯酮,农药呋喃丹的基本原料邻苯二酚 等;在染料行业主要用于生产3,4-二氯硝基苯,进 一步生产分散紫 4BN、分散翠蓝 BF、还原棕 R、还 原草氯 GB 等. 1,4-二氯苯主要用作热塑性工程塑 料聚苯硫醚(PPS)的原料;同时也被用作生产家庭 卫生用品(防蛀、防霉和防臭剂):农药方面还可以 用来合成 2,5-二氯苯甲酸(除草剂地草平的中间 体)、2,4-二氯氟苯(喹诺酮酸类抗菌剂的起始原 料)、对苯二酚等. 1,3-二氯苯可用于合成间苯二 酚、3,5-二氯苯胺等. 我国人口众多,消费基数较 大,二氯苯的需求量一直保持着较高水平,以代替精 萘用作防蛀防霉剂的1,4-二氯苯为例,早在1993年 消耗量已达到5000 t·a-1. 而作为中间体,由于生产 工艺和技术手段等问题,将不可避免地在各产品中 有大量二氯苯的残留,然后通过水体溶解、河流径 流、气体挥发、大气沉降等途径使得污染物进入水 体环境中,最终被水生生物吸收. 因此可以推断该 研究区域鱼体肌肉内二氯苯化合物主要来源于当地 居民日常生活所使用的含有二氯苯化合物的生活 用品.

HCB 作为工业中间体,曾被大量用于生产五氯酚及其钠盐.并有研究证明<sup>[15]</sup>,五氯酚钠成品内含有大量的 HCB 残留(含量达到 20.95 mg·kg<sup>-1</sup>).自1959 年起长江中下游地区大量使用五氯酚及其钠盐(PCP)用于灭螺防治血吸虫病. 谭大等<sup>[16]</sup>报道

2003年环洞庭湖区的岳阳、常德和益阳这3个地区 的 PCP 消费量合计达 620 t. 并有报道指出[17,18],疫 区血防人员灭螺时,每 m2 土地面积的 PCP 用药量 高达5~20 g,导致表层土壤沉积物中 PCP 的浓度 非常高,常常伴随发生生物和人畜中毒甚至死亡的 急性中毒事件. PCP 的大量而且不间断地使用也使 得 HCB 大量地进入当地环境中,然后通过各种途径 进入水生生物体内. 这也就解释了当地水生生物体 内 HCB 含量较高的现象.

#### 3.3 典型污染物在各生物体内含量分析

分析 HCB 在各鱼体中的含量发现,以肉食为主 的杂食性鱼类(黄颡鱼)含量最高,其次为食肉性鱼 类(鲶鱼),而以底栖滤食性生物(河蚌)为最低,一

定程度上表现出随着生物在食物链上等级的提高, 污染物含量增高的现象. 说明 HCB 在生物链上具 有一定生物富集作用. 二氯苯类化合物在不同生物 体内含量与在生物链内的生物等级并无明显关系, 这可能跟各生物体本身的生活习性有关.

#### 3.4 国内外研究对比

为了更好地理解研究区域水生生物体内 CBs 类化合物的污染程度,将数据统计结果与国内外相 关报道进行比较(表4). 由于国内外报道大都只有 HCB的浓度,因此表 4 使用 HCB 为代表对照化合 物. 对比发现研究区域 HCB 含量与长江中鱼体相 当,并远远高于其他国家和地区所报道的相关含量. 研究区域软体生物体内 HCB 与其他地区含量相当.

表 4 水生生物体内 HCB 的国际对比/ng·g-1

Ta	Table 4 Levels of HCB among samples in aquatic organism from various locations in other countries/ng·g <sup>-1</sup>							
国家	区域名称	采样年份	软体生物	鱼体	文献			
中国	洞庭湖	2010 ~ 2012	64	160 ~ 906	本研究			
中国	珠江口	2005	52	3 ~ 134	[ 14 ]			
中国	长江	2003 ~ 2005	_	158 ~542	[19]			
日本	_	_	_	2 ~ 100	[20]			
挪威	巴伦支海	1995	_	21 ~65	[21]			
中国	太湖	2000	_	14 ~ 37	[ 22 ]			
中国	杭州湾	2001	_	$ND \sim 28$	[ 22 ]			
_	里海	2001 ~ 2002	_	14 ~41	[23]			
丹麦	格林兰岛	1999 ~ 2001	0.44(ND~1.2)	13 ~ 49	[ 24 ]			
中国	_	_	0.70 ~540	_	[ 25 ]			
印度	_	_	0.40 ~60	_	[ 25 ]			
日本	_	_	0.60 ~ 29	_	[25]			

#### 3.5 癌症风险评价分析

US EPA 癌症风险标准提出在无污染理想状态 中1百万人中出现1例癌症,但是现实中不可能完 全无污染,所以风险管理部门可接受的风险区间为  $1 \times 10^{-6} \sim 1 \times 10^{-4[11]}$ . 因此通过这个标准相比较发 现,研究区域通过食用水生生物摄入引起的癌症风 险在风险部门可接受范围内,故该区域水生生物对 人体的潜在风险效应相对较低. 但是食用黄颡鱼所 带来的风险已达到10-6等级,需引起一定重视.

#### 4 结论

- (1)典型血吸虫病疫区软体生物检出浓度为 11 947 ng·g<sup>-1</sup>; 不同种类鱼体 CBs 含量有所差异, 其浓度范围为1 851~8 159 ng·g<sup>-1</sup>.
- (2)血吸虫病疫区水生生物体内 CBs 类污染物 以二氯苯和 HCB 为主; 当地二氯苯主要来源为日 常生活用品,HCB 主要来源为杀螺剂(五氯酚钠); 与国内外报道的水生生物体内 HCB 相比,研究区域

生物体内 HCB 污染处于较高水平.

(3)癌症风险评价结果表明血吸虫病疫区因食 用水生生物而摄入 HCB 引起的潜在癌症风险处于 风险部门可接受范围.

#### 参考文献:

- [1] Wolska L, Konieczka P, Jastrzebska A, et al. Analytical procedure for the determination of chlorobenzenes in sediments [J]. Journal of Chromatographic Science, 2003, 41(2): 53-
- [2] 郑明辉, 包志成, 张兵, 等. 大同市地表水及工业废水中氯 苯和酚类化合物的监测[J]. 中国环境监测, 2000, 16(4):
- [3] Lee C L, Song H J, Fang M D. Concentrations of chlorobenzenes, hexachlorobutadiene and heavy metals in surficial sediments of Kaohsiung coast, Taiwan [ J ]. Chemosphere, 2000, 41(6): 889-899.
- [4] Finocchio E, Ramis G, Busca G. A study on catalytic combustion of chlorobenzenes [J]. Catalysis Today, 2011, 169
- [5] Song S L, Ma J, Tian Q, et al. Hexachlorobenzene in human milk collected from Beijing, China[J]. Chemosphere, 2013, 91

- (2): 145-149.
- [6] Tong M, Yuan S H. Physiochemical technologies for HCB remediation and disposal: a review [J]. Journal of Hazardous Materials, 2012, 229-230: 1-14.
- [7] Zhou Y Q, Tigane T, Li X Z, et al. Hexachlorobenzene dechlorination in constructed wetland mesocosms [J]. Water Research, 2013, 47(1): 102-110.
- [8] 甘平, 樊耀波, 王敏健. 氯苯类化合物的生物降解[J]. 环境科学, 2001, 22(3): 93-96.
- [9] 刘翠英, 蒋新. 施用堆腐有机肥对水稻土中六氯苯脱氯降解 影响[J]. 环境科学, 2013, **34**(4): 1583-1589.
- [10] 胡枭, 胡永梅, 樊耀波, 等. 土壤中氯苯类化合物的迁移行为[J]. 环境科学, 2000, **21**(6): 32-36.
- [11] US. The risk assessment information system [EB/OL].

  Tennessee: The Department of Energy's (DOE's) Oak Ridge
  Operations Office (ORO). http://rains. ornl. gov/cgi-bin/tox/
  Tox\_select, 2009-11-20.
- [12] 中国国家统计局. 中国统计年鉴[EB/OL]. http://www.stats. gov.cn/tjsj/ndsj/2013/indexch. htm, 2013.
- [13] US. Integrated Risk Information System [EB/OL]. http://www.epa. gov/iris/subst/0374. htm, 2003-10-28.
- [14] 魏泰莉, 贾晓珊, 杜青平, 等. 珠江口水、沉积物及水生动物中氯苯类有机物的含量及分布[J]. 环境科学学报, 2007, 27(10): 1717-1726.
- [15] Tondeur Y, Nestrick T, Silva H A, et al. Analytical procedures for the determination of polychlorinated-p-dioxins, polychlorinated dibenzofurans, and hexachlorobenzene in pentachlorophenol[J]. Chemosphere, 2010, 80(2): 157-164.
- [16] 谭大,张剑波. Top-down 法计算中国五氯酚钠消费分布[J]. 环境污染与防治,2008,30(3):17-20.
- [17] 戴建荣,朱荫昌,黄铭西. 灭螺药物的研究进展[J]. 中国血吸虫病防治杂志,2000,12(3):189-192.

- [18] 宗俊安,陈福鑫,肖诗焱,等. 耕牛皮肤接触五氯酚钠导致中毒死亡报告[J].中国血吸虫病防治杂志,1989,(3):25-25.
- [19] Wan Y, Wei Q W, Hu J Y, et al. Levels, tissue distribution, and age-related accumulation of synthetic musk fragrances in Chinese sturgeon (Acipenser sinensis): Comparison to organochlorines [J]. Environmental Science & Technology, 2007, 41(2): 424-430.
- [20] de Brito A P, Takahashi S, Ueno D, et al. Organochlorine and butyltin residues in deep-sea organisms collected from the western North Pacific, off-Tohoku, Japan[J]. Marine Pollution Bulletin, 2002, 45(1-12): 348-361.
- [21] Borgå K, Gabrielsen G W, Skaare J U. Biomagnification of organochlorines along a Barents Sea food chain [ J ]. Environmental Pollution, 2001, 113(2): 187-198.
- [22] Nakata H, Hirakawa Y, Kawazoe M, et al. Concentrations and compositions of organochlorine contaminants in sediments, soils, crustaceans, fishes and birds collected from Lake Tai, Hangzhou Bay and Shanghai city region, China [J]. Environmental Pollution, 2005, 133(3): 415-429.
- [23] Kajiwara N, Ueno D, Monirith I, et al. Contamination by organochlorine compounds in sturgeons from Caspian Sea during 2001 and 2002 [J]. Marine Pollution Bulletin, 2003, 46(6): 741-747.
- [24] Vorkamp K, Riget F, Glasius M, et al. Chlorobenzenes, chlorinated pesticides, coplanar chlorobiphenyls and other organochlorine compounds in Greenland biota[J]. Science of the Total Environment, 2004, 331(1-3): 157-175.
- [25] Monirith I, Ueno D, Takahashi S, et al. Asia-Pacific mussel watch: monitoring contamination of persistent organochlorine compounds in coastal waters of Asian countries [J]. Marine Pollution Bulletin, 2003, 46(3): 281-300.

## **HUANJING KEXUE**

Environmental Science (monthly)

Vol. 36 No. 10 Oct. 15, 2015

### **CONTENTS**

Source Contribution Analysis of the Fine Particles in Shanghai During a Heavy Haze Episode in December, 2013 Based on the Particles in Shanghai During a Heavy Haze Episode in December, 2013 Based on the Particles in Shanghai During a Heavy Haze Episode in December, 2013 Based on the Particles in Shanghai During a Heavy Haze Episode in December, 2013 Based on the Particles in Shanghai During a Heavy Haze Episode in December, 2013 Based on the Particles in Shanghai During a Heavy Haze Episode in December, 2013 Based on the Particles in Shanghai During a Heavy Haze Episode in December, 2013 Based on the Particles in Shanghai During a Heavy Haze Episode in December, 2013 Based on the Particles in Shanghai During a Heavy Haze Episode in December, 2013 Based on the Particles in Shanghai During a Heavy Haze Episode in December, 2013 Based on the Particles in Shanghai During a Heavy Haze Episode in December, 2013 Based on the Particles in Shanghai During a Heavy Haze Episode in December, 2013 Based on the Particles in Shanghai During a Heavy Haze Episode in December, 2013 Based on the Particles in Shanghai During a Heavy Haze Episode in December, 2013 Based on the Particles in Shanghai During a Heavy Haze Episode in December, 2013 Based on the Particles in Shanghai During a Heavy Haze Episode in December, 2013 Based on the Particles in Shanghai During a Heavy Haze Episode in December (1913) Based on the Particles in Shanghai During a Heavy Haze Episode in December (1913) Based on the Particles in Shanghai During a Heavy Haze Episode in December (1913) Based on the Particles in Shanghai During a Heavy Haze Episode in December (1913) Based on the Particles in Shanghai During a Heavy Haze Episode in December (1913) Based on the Particles in Shanghai During a Heavy Haze Episode in December (1913) Based on the Particles in Shanghai During a Heavy Haze Episode in December (1913) Based on the Particles in Shanghai During (1913) Based on the Particles in Shanghai During (1913) Based on the Particles in Shanghai During (1913) B	articulate Matter Source Apportionment Technology	
The first Male is also as a first of the fir		3543)
Transformation Mechanism and Sources of Secondary Inorganic Components in PM <sub>2.5</sub> at an Agriculture Site (Quzhou) in the Nor	th China Plain in Summer	2554)
Pollution Level and Sources of Organic Phosphorus Esters in Airborne PM <sub>2.5</sub> in Chengdu City		
Characteristics and Parameterization for Atmospheric Extinction Coefficient in Beijing		
Photocatalytic Degradation of Gaseous Toluene by a Photo-Fenton Reaction		
Emission of PCDD/Fs from Crematories and Its Influencing Factors		
Odor Emission Characteristics from Biochemical Treatment Facilities of Kichen Waste in China		
Temporal and Spatial Characteristics of Lake Taihu Surface Albedo and Its Impact Factors		
Remote Sensing Inversion of Diffuse Attenuation Coefficient in Lake Taihu Based on the GOCI Images		
Porewater Dissolved Methane in Cyperus malaccensis Marshes Along Salinity Gradient in the Minjiang River Estuary		
Stable Isotopes Characters of Soil Water Movement in Shijiazhuang City		
Seasonal Variations in Vertical Profile of Hg Species and the Influential Factors in Changshou Reservior		
Nutrient Characteristics and Nitrogen Forms of Rhizosphere Soils Under Four Typical Plants in the Littoral Zone of TGR		
Exchange Fluxes and Coupling Relationship of Dissolved Inorganic Carbon and Dissolved Organic Carbon Across the Water-Sedin		3002 )
Exchange Traces and coupling relationship of Dissorted morganic carbon and Dissorted Organic Carbon Across the water-count		3674)
Mass Transport in Porous Sediments During a Turbulent Disturbance	II Shao-long CHEN Dao-vi (	3683)
Characterization of Pollutant Wash-off in the Urban Stormwater		
Research of the Stormwater Runoff and Pollution Characteristics in Rural Area of Yuhang District, Hangzhou		
Formation and Variation of Brominated Disinfection By-products in A Combined Ultrafiltration and Reverse Osmosis Process for S		3071 )
Tomaton and Variation of Biolimated Biolimeters by products in 11 committee citations and reviews committee of the	YANG Zhe SIIN Ying-yue SHI Na et al. (	3706)
Effect of Natural Organic Matter and Electrolytes on the Aggregation of C <sub>60</sub> Nanoparticles in Aquatic Systems		
Efficiency of Sediment Amendment with Zirconium-Modified Kaolin Clay to Control Phosphorus Release from Sediments in Heavil		3/13/
Elikericy of Securition American and Electrical American Cody to Control American Research Format Securition of the Control and Cody of Control and Cody of Control and Cody of Cody o	······· WANG Hong LIN lian-wei ZHAN Yan-hui et al. (	3720)
Transformation of Nitrogen Nutrients in the Urban Sewage Pipe Network	IIN Peng-kang, IIAO Ding, REN Wu-ang (	3730)
Application of Micro-aerobic Hydrolysis Acidification in the Pretreatment of Petrochemical Wastewater		
Efficacy of A <sup>2</sup> /O-MBR Combined Process in Wastewater Treatment and the Characteristics of Membrane Fouling		
Effect of High Ammonium on Nitrogen Removal in an Partial Nitritation-ANAMMOX Process with Reflux System		
Reductive Dechlorination of Trichloroethylene by Benzoate-Enriched Anaerobic Cultures		
2.4.6-Trichlorophenol Mineralization Promoted by Anaerobic Reductive Dechlorination of Acclimated Sludge and Extracellular Re	espiration Dechlorination Pathway	
, , , , , , , , , , , , , , , , , , , ,	SONG Jia-xiu, LI Ling, SHENG Fan-fan, et al. (	3764)
Short or Long Term Influence of Phenol on Nitrogen Removal Efficiency of ANAMMOX Sludge		
Process Optimization of Aerobic Granular Sludge Continuous-Flow System for the Treatment of Low COD/N Ratio Sewage		
Long-Term Inhibition of FNA on Aerobic Phosphate Uptake and Variation of Phosphorus Uptake Properties of the Sludge		
Performance and Factors Analysis of Sludge Dewatering in Different Wastewater Treatment Processes		
Effect of Residual Hydrogen Peroxide on Hydrolysis Acidification of Sludge Pretreated by Microwave - $H_2O_2$ -Alkaline Process $\cdots$		
Vertical Distribution Characteristics of Typical Forest Soil Organic Nitrogen in Dawei Mountain	DING Xian-qing, MA Hui-jing, ZHU Xiao-long, et al. (	3809)
Effects of Different Land Uses on Soil Active Organic Carbon and Nitrogen Fractions in Jinyun Mountain		
Control of Soil Nutrient Loss of Typical Reforestation Patterns Along the Three Gorges Reservoir Area	WU Dong, HUANG Zhi-lin, XIAO Wen-fa, et al. (	3825)
Effects of Slope Position and Soil Horizon on Soil Microbial Biomass and Abundance in Karst Primary Forest of Southwest China	FENG Shu-zhen, SU Yi-rong, ZHANG Wei, et al. (	3832)
Effects of Different Plantation Type on the Abundance and Diversity of Soil Microbes in Subtropical Red Soils	····· SHEN Bing-jie, ZHU Zhen-ke, YUAN Hong-zhao, et al. (	3839)
Accumulation of Mercury in Soil-maize System of Non-ferrous Metals Smelting Area and Its Related Risk Assessment	JI Xiao-feng, ZHENG Na, WANG Yang, et al. (	3845)
Effects of Different Modifier Concentrations on Lead-Zinc Tolerance, Subcellular Distribution and Chemical Forms for Four Kinds		
	····· CHEN Yong-hua, ZHANG Fu-yun, WU Xiao-fu, et al. (	3852)
Isolation, Purification and Identification of Antialgal Activity Substances of Ethyl Acetate Extracts from the Submerged Macrophyt	tes Potamogeton crispus ·····	
	SUN Ying-ying, SU Zhen-xia, PU Yin-fang, et al. (	3860)
Distribution Characteristics and Potential Risk of CBs in Aquatic Organisms from Typical Epidemic Areas of Schistosomiasis Previous	alence ·····	
Application of Whole-cell Biosensor ADP1_pWHlux for Acute Toxicity Detection in Water Environment	TANG Hui, SONG Yi-zhi, JIANG Bo, et al. (	3872)
Application of Rainbow Trout CYP1 Gene Expression Patterns in Gill and Liver for Haihe River Bio-monitoring		
Toxic Effect of Nano-ZnO in Liver of Zebrafish		
Acute Toxicity of Coptis chinensis Rhizome Extracts to Daphnia carinata · · · · · · · · · · · · · · · · · ·	····· CHEN Ya-nan, YUAN Ling (	3892)
Adsorption-desorption Characteristics of Fermented Rice Husk for Ferrous and Sulfur Ions	XIE Xiao-mei, LIAO Min, HUA Jia-yuan, et al. (	3896)
Application of Stir Bar Sorptive Extraction and Gas Chromatograph Mass Spectrometer to the Phthalic Acid Esters Analysis in Sea		
Experimental Conditions and Reliability Analysis of Results of COD Components	LI Zhi-hua, ZHANG Yin, HAN Xing, et al. (	3913)
Method for Simultaneous Determination of 11 Veterinary Antibiotics in Piggery Wastewater and Sludge and Its Application in Biol		
	DING Jia-li, LIU Rui, ZHENG Wei, et al. (	3918)
Research Progress in Technology of Using Soil Micro-organisms to Cenerate Electricity and Its Potential Applications	DENG Huan XIIE Hong-jing HANG Yun-bin et al. (	3926)

## 《环境科学》第6届编辑委员会

主 编:欧阳自远

副主编: 赵景柱 郝吉明 田 刚

编 委: (按姓氏笔画排序)

万国江 王华聪 王凯军 王绪绪 田 刚 田 静 史培军

朱永官 刘志培 刘 毅 汤鸿霄 孟 伟 周宗灿 林金明

欧阳自远 赵景柱 姜 林 郝郑平 郝吉明 聂永丰 黄 霞

黄耀 鲍强潘纲潘涛魏复盛

## 环枪种草

(HUANJING KEXUE)

(月刊 1976年8月创刊) 2015年10月15日 第36卷 第10期

#### ENVIRONMENTAL SCIENCE

(Monthly Started in 1976)

Vol. 36 No. 10 Oct. 15, 2015

主	<u> </u>	<b>中国到兴险</b>	Superintended	by	Chinese Academy of Sciences
	管	中国科学院	•	-	•
主	办	中国科学院生态环境研究中心	Sponsored	by	Research Center for Eco-Environmental Sciences, Chinese
协	办	(以参加先后为序)			Academy of Sciences
		北京市环境保护科学研究院	Co-Sponsored	by	Beijing Municipal Research Institute of Environmental
		清华大学环境学院			Protection
主	编	欧阳自远			School of Environment, Tsinghua University
_			Editor-in -Chief		OUYANG Zi-yuan
编	辑	《环境科学》编辑委员会	Edited	bv	The Editorial Board of Environmental Science (HUANJING
		北京市 2871 信箱(海淀区双清路		/	KEXUE)
		18号,邮政编码:100085)			P. O. Box 2871, Beijing 100085, China
		电话:010-62941102,010-62849343			, , ,
		传真:010-62849343			Tel:010-62941102,010-62849343; Fax:010-62849343
		E-mail; hjkx@ rcees. ac. cn			E-mail:hjkx@ rcees. ac. cn
		http://www.hjkx.ac.cn			http://www. hjkx. ac. cn
出	版	<b>斜学出版社</b>	Published	by	Science Press
		北京东黄城根北街 16 号			16 Donghuangchenggen North Street,
		邮政编码:100717			Beijing 100717, China
印刷装	ŧίΤ	北京北林印刷厂	Printed	by	Beijing Bei Lin Printing House
发	行	<b>结 堡 出 版 社</b>	Distributed	by	Science Press
~	1,	电话:010-64017032			Tel:010-64017032
		E-mail: journal@ mail. sciencep. com			E-mail: journal@ mail. sciencep. com
订 购	处	全国各地邮电局	Domestic		All Local Post Offices in China
国外总统		中国国际图书贸易总公司	Foreign		China International Book Trading Corporation (Guoji
四月心	X I J	中国国际图节员勿忘公司 (北京399信箱)	rorcigii		
		( 山水 399 百相 )			Shudian), P. O. Box 399, Beijing 100044, China

中国标准刊号: ISSN 0250-3301 CN 11-1895/X

国内邮发代号: 2-821

国内定价:120.00元

国外发行代号: M 205

国内外公开发行